

УДК 519.2

## МЕТОД ЦИФРОВОЙ ФИЛЬТРАЦИИ ПОСЛЕДОВАТЕЛЬНОСТЕЙ ЭКСПЕРИМЕНТАЛЬНЫХ ДАННЫХ С ИСПОЛЬЗОВАНИЕМ АППРОКСИМАЦИОННЫХ СПЛАЙНОВЫХ ФУНКЦИЙ

В. В. Буров<sup>1</sup>, В. Г. Гетманов<sup>2</sup>, С. Е. Орлов<sup>2</sup>, В. В. Петроневич<sup>1</sup>

<sup>1</sup> Федеральное государственное унитарное предприятие  
«Центральный аэрогидродинамический институт им. Н. Е. Жуковского»,  
140180, г. Жуковский, Московской обл., ул. Жуковского, 1  
E-mail: mera@tsagi.ru

<sup>2</sup> Федеральное государственное бюджетное образовательное учреждение  
высшего профессионального образования  
«Национальный исследовательский ядерный университет "МИФИ"»,  
115409, Москва, Каширское шоссе, 31  
E-mail: vgetm@starnet.ru

Разработан метод цифровой фильтрации последовательностей экспериментальных данных с использованием аппроксимационных сплайновых функций. Поставлена задача цифровой фильтрации на основе таких функций и дано её общее решение. Рассмотрен пример построения аппроксимационных сплайновых функций с регулированием на концах интервалов наблюдений. Описаны результаты цифровой фильтрации данных аэродинамического эксперимента с помощью разработанного метода.

*Ключевые слова:* цифровая фильтрация, аппроксимация, сплайновые функции, экспериментальные данные.

**Введение.** Для ряда задач цифровой фильтрации последовательностей экспериментальных данных может возникнуть необходимость учёта неравномерной дискретизации, ограниченных интервалов времени наблюдений и нестационарности статистических характеристик шумовых погрешностей в наблюдениях. Достаточно часто цифровая фильтрация экспериментальных данных должна производиться при обеспечении требования минимизации фазовых искажений в отфильтрованных последовательностях.

Как правило, применение традиционных цифровых фильтров для экспериментальных данных с отмеченными особенностями сопряжено с определёнными сложностями. Такие фильтры рассчитываются при условии постоянного шага дискретизации; ограниченные интервалы наблюдений при осуществлении фильтрации приводят в случае неточного подбора начальных условий к переходным процессам, которые значительно увеличивают погрешности; нестационарность статистических характеристик шумовых погрешностей наблюдений требует разработки адаптивных цифровых фильтров. В основном обеспечение малых фазовых искажений для отфильтрованных последовательностей данных противоречит требованию снижения влияния шумовых погрешностей.

Известно, что на основе обычных сплайнов [1] или В-сплайнов [2], являющихся полиномиальными, вполне успешно реализуются многие задачи цифровой аппроксимационной фильтрации данных. Имеется значительное количество публикаций зарубежных [3–5] и отечественных [6–8] авторов, посвящённых различным аспектам проблемы применения для фильтрации указанных сплайнов.

Однако некоторые задачи фильтрации, требующие учёта функциональной природы данных, не всегда могут быть успешно решены на основе полиномиальных аппроксима-

ционных сплайнов. В данной работе предлагаются сформированные на функциях достаточно общего вида аппроксимационные сплайны с регулированием по нулевым и первым производным на концах интервала наблюдения и ориентированные на решение рассматриваемой задачи цифровой фильтрации экспериментальных данных. Отдельные результаты по предлагаемым аппроксимационным сплайновым функциям изложены в [9, 10].

**1. Постановка задачи цифровой фильтрации последовательностей экспериментальных данных на основе аппроксимационных сплайновых функций.** Пусть наблюдения  $y(t_i)$  конечной последовательности экспериментальных данных производятся с помощью аддитивной модели

$$y(t_i) = x_0(t_i) + w(t_i), \quad (1)$$

где  $t_i$  — моменты времени, определяющие неравномерную дискретизацию,  $i = 0, 1, \dots, N_f - 1$ ,  $N_f$  — число данных, расположенных на ограниченном интервале времени наблюдения  $(t_0, t_{N_f-1})$ . Будем считать, что исходная последовательность  $x_0(t_i)$  из (1) порождается функциями  $x_0(t) \in C^{L_0}(t_0, t_{N_f-1})$ , где  $C^{L_0}(t_0, t_{N_f-1})$  — множество непрерывных на интервале  $(t_0, t_{N_f-1})$  функций, имеющих непрерывные производные до  $L_0$ -й включительно. Погрешности наблюдений  $w(t_i)$  с нестационарными статистическими характеристиками моделируются в (1) независимыми случайными нормально распределёнными числами с нулевым математическим ожиданием и заданной функцией дисперсии  $\sigma^2(t_i)$ , зависящей от  $t_i$ . Необходимо отметить, что в качестве аргумента в модели (1) не обязательно должно выступать время; аргументом может быть любая физическая величина, например пространственная переменная.

Решение задачи цифровой фильтрации будем связывать с построением модельных функций  $f(\alpha, t)$  известного вида:  $f(\alpha, t) \in C_0^{L_0}(t_0, t_{N_f-1}) \subset C^{L_0}(t_0, t_{N_f-1})$ , определённых на  $(t_0, t_{N_f-1})$  и зависящих от вектора параметров  $\alpha$ ; для общности будем полагать, что вектор параметров ограничен:  $\alpha \in A_0$ . Введём вектор  $y^T = (y(t_0), y(t_1), \dots, y(t_{N_f-1}))$  и запишем функционал  $S_0(y, \alpha)$ , имеющий вполне очевидный физический смысл:

$$S_0(y, \alpha) = \sum_{i=0}^{N_f-1} (y(t_i) - f(\alpha, t_i))^2. \quad (2)$$

Реализация минимизационной задачи обеспечивает аппроксимацию наблюдений  $y(t_i)$  значениями модельной функции  $f(\alpha, t_i)$  с помощью выбора вектора

$$\alpha^\circ = \arg\{\min_{\alpha \in A_0} S_0(\alpha, y)\}. \quad (3)$$

Результат фильтрации последовательности  $y(t_i)$ , представляемый отфильтрованной последовательностью  $x(t_i)$ ,  $i = 0, 1, \dots, N_f - 1$ , формируется из решения задачи (3) на основе выбора оптимальной модельной функции

$$x(t_i) = f(\alpha^\circ, t_i),$$

которая для моментов времени  $t_i$  выбранного вектора  $\alpha^\circ$  вследствие используемой модели наблюдений (1) и принятых статистических свойств погрешностей, связанных с заданной функцией дисперсии, должна обеспечивать наилучшую аппроксимацию значений  $f(\alpha^\circ, t_i)$  к исходной последовательности  $x_0(t_i)$ .

Предложенную задачу цифровой фильтрации, трактуемую как аппроксимационную, будем реализовывать на основе модельных функций, которые принадлежат ко множеству

введённых здесь А-сплайновых функций. Рассмотрим основные составляющие, необходимые для построения этих функций.

Сплайновые узлы на интервале времени  $(t_0, t_{N_f-1})$  задаются числами  $\tau_k, k = 1, \dots, n-1, \tau_1 < \tau_2 < \dots < \tau_{n-1}, \tau_0 = t_0, \tau_n = t_{N_f-1}$ . Соответствующие сплайновые интервалы  $\tau_{k-1} \leq t \leq \tau_k, k = 1, \dots, n$ , в общем случае являются произвольными по величине. Обозначим граничные номера неравномерно расположенных данных на сплайновом интервале с номером  $k$  целыми числами  $N_{1k}, N_{2k}$ . На  $k$ -м сплайновом интервале располагаются данные с номерами, которые удовлетворяют неравенствам  $N_{1k} \leq i \leq N_{2k}$ . Очевидно,  $N_{1(k+1)} = N_{2k} + 1, N_{11} = 0, N_{2n} = N_f - 1$ .

Модельные базисные функции  $f_k(\alpha_k, t)$  на  $k$ -м сплайновом интервале  $\tau_{k-1} \leq t \leq \tau_k$  возьмём в виде взвешенных сумм базисных функций  $f_{l,k}(t), l = 0, 1, \dots, L$  ( $l$  — номер базисной функции); вне  $k$ -го сплайнового интервала  $t < \tau_{k-1}, t > \tau_k$  для базисных функций должны быть выполнены условия  $f_{l,k}(t) = 0$ . Примем, что  $f_{l,k}(t) \in C_0^{L_0}(\tau_{k-1}, \tau_k)$ . Модельная базисная функция  $f_k(\alpha_k, t)$  для  $k$ -го интервала записывается в виде

$$f_k(\alpha_k, t) = \sum_{l=0}^L \alpha_{l,k} f_{l,k}(t),$$

где  $\alpha_k^T = (\alpha_{0,k}, \alpha_{1,k}, \dots, \alpha_{L,k})$  — вектор весовых коэффициентов;  $f_k^T(t) = (f_{0,k}(t), f_{1,k}(t), \dots, f_{L,k}(t))$  — вектор базисных функций. Возможно представление для данной модельной базисной функции в форме скалярного произведения

$$f_k(\alpha_k, t) = f_k^T(t) \alpha_k.$$

Модельная функция  $f(\alpha, t)$ , определённая для  $(t_0, t_{N_f-1})$ , выразится суммой:

$$f(\alpha, t) = \sum_{k=1}^n f_k(\alpha_k, t) = \sum_{k=1}^n \sum_{l=0}^L \alpha_{l,k} f_{l,k}(t), \quad (4)$$

где вектор параметров  $\alpha$  имеет размерность  $(n(L+1), 1)$  и может быть сформирован как блочный вектор  $\alpha^T = (\alpha_1^T, \alpha_2^T, \dots, \alpha_n^T)$ . В общем случае видно, что  $f(\alpha, t)$  представляет собой последовательность кусочно-непрерывных функций с разрывами в точках  $\tau_k, k = 1, 2, \dots, n-1$ .

Гладкость модельной функции (4) по нулевой и первой производным в сплайновых узлах  $\tau_k$  обеспечивается выполнением линейных по  $\alpha$  равенств:

$$h_{0k}(\alpha) = 0; \quad h_{1k}(\alpha) = 0, \quad k = 1, 2, \dots, n-1;$$

$$h_{0k}(\alpha) = f_k^T(\tau_k) \alpha_k - f_{k+1}^T(\tau_k) \alpha_{k+1} = 0; \quad (5)$$

$$h_{1k}(\alpha) = f_k^{(1)T}(\tau_k) \alpha_k - f_{k+1}^{(1)T}(\tau_k) \alpha_{k+1} = 0.$$

Рассмотрим возможность регулирования положением и наклоном модельной функции (4) на концах интервала наблюдения с помощью задания для неё значений нулевых и первых производных в точках  $t = t_0, t = t_f$ . Пусть эти производные на левом конце интервала наблюдения определяются заданием значений  $g_1, g_2$ , на правом конце — заданием значений  $g_3, g_4$ ; введённые значения сформируем в виде вектора  $g^T = (g_1, g_2, g_3, g_4)$  размерности

(4, 1). Указанное регулирование эквивалентно введению следующих четырёх линейных по  $\alpha$  равенств  $h_{2r}(\alpha) = 0$ ,  $r = 1, \dots, 4$ :

$$\begin{aligned} h_{21}(\alpha) &= \alpha_1^T f_1(t_0) - g(1) = 0; & h_{22}(\alpha) &= \alpha_1^T f_1^{(1)}(t_0) - g(2) = 0; \\ h_{23}(\alpha) &= \alpha_n^T f_n(t_f) - g(3) = 0; & h_{24}(\alpha) &= \alpha_n^T f_n^{(1)}(t_f) - g(4) = 0. \end{aligned} \quad (6)$$

Зададим допустимое множество  $A$ , к которому должны принадлежать векторы  $\alpha$ , удовлетворяющие равенствам (5), (6):

$$A = \{\alpha: (h_{0k}(\alpha) = 0, \quad h_{1k}(\alpha) = 0, \quad k = 1, 2, \dots, n-1, \quad h_{2r}(\alpha) = 0, \quad r = 1, \dots, 4)\}.$$

Модельные функции (4) для векторов  $\alpha \in A$  составляют множество  $A$ -сплайновых функций.

Необходимо отметить, что базисные функции  $f_k(t)$ , образующие модельные базисные функции  $f_k(\alpha_k, t)$ , могут быть достаточно произвольной природы, согласованной определённым образом с  $C_0^{L_0}(t_0, t_{N-1})$ . Так, для цифровой фильтрации узкополосных сигналов в качестве базисных функций могут использоваться синусоидальные функции. Вычисление  $A$ -сплайновых функций здесь дано для того, чтобы подчеркнуть их технологические отличия от традиционных сплайновых функций и обеспечить терминологические удобства.

Для наблюдений  $y(t_i)$  и  $A$ -сплайновой функции  $f(\alpha, t_i)$ , заданной для моментов  $t_i$ ,  $i = 0, 1, \dots, N_f - 1$ , определяется сплайновый функционал

$$S(y, \alpha) = \sum_{i=0}^{N_f-1} (y(t_i) - f(\alpha, t_i))^2 = \sum_{k=1}^n \sum_{i=N_{1k}}^{N_{2k}} (y(t_i) - f_k^T(t_i)\alpha_k)^2,$$

который, как видно, является квадратичным по вектору параметров  $\alpha$ :

$$S(y, \alpha) = \sum_{k=1}^n \left( \sum_{i=N_{1k}}^{N_{2k}} y^2(t_i) - 2 \left( \sum_{i=N_{1k}}^{N_{2k}} y(t_i) f_k^T(t_i) \right) \alpha_k + \alpha_k^T \left( \sum_{i=N_{1k}}^{N_{2k}} f_k(t_i) f_k^T(t_i) \right) \alpha_k \right). \quad (7)$$

Нахождение значений аппроксимационной сплайновой функции  $f(\alpha^\circ, t_i)$  сводится к решению задачи условной оптимизации квадратичного функционала (7) с учётом допустимого множества  $A$ , задаваемого системой  $2(n-1) + 4$  линейных равенств (5), (6):

$$\alpha^\circ = \arg\{\min_{\alpha \in A} S(y, \alpha)\}. \quad (8)$$

В качестве результата фильтрации в данном случае будет выступать отфильтрованная последовательность  $x(t_i)$ , порождённая аппроксимационной  $A$ -сплайновой функцией, полученной из (4) после подстановки в  $f(\alpha, t)$  значений  $\alpha^\circ$  и  $t_i$ :

$$x(t_i) = f(\alpha^\circ, t_i), \quad i = 0, 1, \dots, N_f - 1.$$

**2. Общее решение задачи цифровой фильтрации на основе аппроксимационных сплайновых функций.** Введём множители Лагранжа  $\lambda_{0,k}, \lambda_{1,k}, k = 1, 2, \dots, n-1$ , и  $\lambda_{2,r}, r = 1, \dots, 4$ ,  $\lambda_0^T = (\lambda_{0,1}, \dots, \lambda_{0,n-1})$ ,  $\lambda_1^T = (\lambda_{1,1}, \dots, \lambda_{1,n-1})$ ,  $\lambda_2^T = (\lambda_{2,1}, \dots, \lambda_{2,4})$  и  $\lambda^T = (\lambda_0^T, \lambda_1^T, \lambda_2^T)$ , на основе которых запишем функцию Лагранжа

$$L(y, \alpha, \lambda) = S(y, \alpha) + \sum_{k=1}^{n-1} \lambda_{0k} h_{0k}(\alpha) + \sum_{k=1}^{n-1} \lambda_{1k} h_{1k}(\alpha) + \sum_{r=1}^4 \lambda_{2r} h_{2r}(\alpha).$$

Решение задачи условной оптимизации (8) сводится к задаче безусловной оптимизации функции Лагранжа по переменным  $\alpha, \lambda$ . Для этой цели записываются необходимые условия экстремума в виде равенств нулю производных  $L(y, \alpha, \lambda)$ :

$$\frac{\partial L(y, \alpha, \lambda)}{\partial \alpha} = 0; \quad \frac{\partial L(y, \alpha, \lambda)}{\partial \lambda} = 0. \quad (9)$$

Вследствие того что функционал (7) является квадратичным и ограничивающие равенства (4), (5) — линейными, условия (9) представляют собой систему линейных уравнений.

Для удобств записи необходимых условий экстремума в виде системы линейных уравнений используем векторно-матричные обозначения. Для функционала (7) определим матрицы  $Q_k$  и векторы  $P_k$  размерности  $(L+1, L+1)$  и  $(L+1, 1)$  соответственно:

$$Q_k = \sum_{i=N_{1k}}^{N_{2k}} f_k(t_i) f_k^T(t_i); \quad P_k^T = \sum_{i=N_{1k}}^{N_{2k}} y(t_i) f_k^T(t_i), \quad (10)$$

на основе которых функционал  $S(y, \alpha)$  может быть представлен в матрично-векторных обозначениях:

$$S(y, \alpha) = \sum_{k=1}^n \sum_{i=N_{1k}}^{N_{2k}} y^2(t_i) + \sum_{k=1}^n \alpha_k^T Q_k \alpha_k - 2 \sum_{k=1}^n P_k^T \alpha_k.$$

С использованием  $Q_k$  и  $P_k$  составим блочные матрицу  $Q$  и вектор  $P$ :

$$Q = \begin{vmatrix} Q_1, & 0, & \dots & 0 \\ 0, & Q_2, & \dots & 0 \\ 0, & 0, & \dots & 0 \\ 0, & 0, & \dots & Q_n \end{vmatrix}; \quad P = \begin{vmatrix} P_1 \\ P_2 \\ \dots \\ P_n \end{vmatrix}, \quad (11)$$

позволяющие представить в компактной форме функционал

$$S(y, \alpha) = \sum_{k=1}^n \sum_{i=N_{1k}}^{N_{2k}} y^2(t_i) + \alpha^T Q \alpha - 2P^T \alpha.$$

Запишем введённые ограничения-равенства (5) в матрично-векторном виде. Составим

блочную матрицу  $C_0$  размерности  $((n-1), (L+1)n)$ :

$$C_0 = \begin{pmatrix} f_1^T(\tau_1), & -f_2^T(\tau_1), & 0, & \dots & 0 \\ 0, & f_2^T(\tau_2), & -f_3^T(\tau_2), & 0, & 0 \\ \dots & \dots & \dots & \dots & \dots \\ & & f_{n-2}^T(\tau_{n-2}), & f_{n-1}^T(\tau_{n-2}), & 0 \\ 0, & \dots & 0, & f_{n-1}^T(\tau_{n-1}), & -f_n^T(\tau_{n-1}) \end{pmatrix} \quad (12)$$

и блочную матрицу  $C_1$  размерности  $((n-1), (L+1)n)$ :

$$C_1 = \begin{pmatrix} f_1^{(1)T}(\tau_1), & -f_2^{(1)T}(\tau_1), & 0, & \dots & 0 \\ 0, & f_2^{(1)T}(\tau_2), & -f_3^{(1)T}(\tau_2), & 0, & 0 \\ \dots & \dots & \dots & \dots & \dots \\ & & f_{n-2}^{(1)T}(\tau_{n-2}), & f_{n-1}^{(1)T}(\tau_{n-2}), & 0 \\ 0, & \dots & 0, & f_{n-1}^{(1)T}(\tau_{n-1}), & -f_n^{(1)T}(\tau_{n-1}) \end{pmatrix}. \quad (13)$$

С использованием матриц  $C_0, C_1$  можно выразить условия-равенства в сплайновых узлах следующими матричными равенствами:

$$C_0\alpha = 0, \quad C_1\alpha = 0.$$

Запишем ограничения-равенства (6), которые управляют значениями нулевой и первой производных на концах интервала наблюдения в матрично-векторном виде. Введём соответствующую матрицу  $C_2$  размерности  $(4, (L+1)n)$ , воспользовавшись определённым ранее управляющим вектором  $g^T = (g_1, \dots, g_4)$ :

$$C_2 = \begin{pmatrix} f_1^T(t_0), & 0, & \dots & 0 \\ f_1^{(1)T}(t_0), & 0, & \dots & 0 \\ 0, & \dots & 0, & f_n^T(t_f) \\ 0, & \dots & 0, & f_n^{(1)T}(t_f) \end{pmatrix}. \quad (14)$$

На основе матрицы  $C_2$  и вектора  $g$  указанные ограничения-равенства представляются соотношением

$$C_2\alpha - g = 0.$$

С использованием матрично-векторных обозначений функция Лагранжа  $L(y, \alpha, \lambda)$  примет очевидный компактный вид

$$L(y, \alpha, \lambda) = \sum_{k=1}^n \sum_{i=N_{1k}}^{N_{2k}} y^2(t_i) + \alpha^T Q\alpha - 2P^T\alpha + \lambda_0^T C_0\alpha + \lambda_1^T C_1\alpha + \lambda_2^T (C_2\alpha - g).$$

Продифференцируем функцию Лагранжа по векторам  $\alpha, \lambda_0, \lambda_1, \lambda_2$ , приравняем производные к нулю и получим необходимые условия экстремума в форме системы линейных

уравнений размерности  $(L + 1)n + 2(n - 1) + 4$ , которые позволяют определить параметры аппроксимационной сплайновой функции и дополнительно найти множители Лагранжа:

$$\frac{\partial L(y, \alpha, \lambda)}{\partial \alpha} = 2Q\alpha - 2P + C_0^T \lambda_0 + C_1^T \lambda_1 + C_2^T \lambda_2 = 0, \quad (15)$$

$$\frac{\partial L(y, \alpha, \lambda)}{\partial \lambda_0} = C_0 \alpha = 0; \quad \frac{\partial L(y, \alpha, \lambda)}{\partial \lambda_1} = C_1 \alpha = 0; \quad \frac{\partial L(y, \alpha, \lambda)}{\partial \lambda_2} = C_2 \alpha - g = 0. \quad (16)$$

Основываясь на необходимых условиях в виде (15), (16), сформированных матрицах  $Q$ ,  $C_0$ ,  $C_1$ ,  $C_2$  и векторах  $P$ ,  $g$ , составим блочные матрицу  $D$  и вектор  $b$ :

$$D = \begin{pmatrix} 2Q & C_0^T & C_1^T & C_2^T \\ C_0 & 0 & 0 & 0 \\ C_1 & 0 & 0 & 0 \\ C_2 & 0 & 0 & 0 \end{pmatrix}; \quad b = \begin{pmatrix} 2P \\ 0 \\ 0 \\ g \end{pmatrix}, \quad (17)$$

на основе которых найдём решение расширенной системы

$$Dz = b.$$

Первые  $(L + 1)n$  параметров вектора  $z^T = (\alpha^T, \lambda_0^T, \lambda_1^T, \lambda_2^T)$  размерности  $((L + 1)n + 2(n - 1) + 4, 1)$ , составленного в виде блочного, позволяют получить значения оптимальных параметров вектора  $\alpha^\circ$  и записать выражение для аппроксимационной сплайновой функции и отфильтрованной последовательности

$$x(t_i) = f(\alpha^\circ, t_i) = \sum_{k=1}^n (\alpha_{0,k}^\circ f_{0,k}(t_i) + \alpha_{1,k}^\circ f_{1,k}(t_i) + \dots + \alpha_{L,k}^\circ f_{L,k}(t_i)), \quad i = 0, 1, \dots, N_f - 1.$$

**3. Цифровая фильтрация с использованием аппроксимационных сплайнов с регулированием на концах интервала наблюдения.** Рассмотрим цифровую фильтрацию последовательностей экспериментальных данных аппроксимационными сплайновыми функциями частного вида, сформированными на основе дискретных полиномов второй степени, в целях использования их при решении примера в разд. 4. Введём для сплайновых функций регулирование положений и производных на концах интервала наблюдений.

По-прежнему будем полагать, что исходные данные для цифровой фильтрации задаются вектором наблюдений  $y^T = (y(t_0), y(t_1), \dots, y(t_{N_f-1}))$ , последовательностью соответствующих моментов времени дискретизации  $t_0, t_1, \dots, t_{N_f-1}$  и сплайновыми узлами в виде последовательности  $\tau_1, \tau_2, \dots, \tau_{n-1}$ . На основе информации о моментах времени дискретизации и расположении сплайновых узлов формируется последовательность номеров граничных точек сплайновых интервалов  $N_{1k}, N_{2k}, k = 1, \dots, n$ . Пусть заданы численные значения положений  $g_1, g_3$  и наклонов  $g_2, g_4$  на левом и правом концах интервала наблюдения; вектор  $g^T = (g_1, g_2, g_3, g_4)$  обеспечивает регулирование сплайновой функции.

Дискретные полиномы  $f_{0,k}(t_i) = 1$ ,  $f_{1,k}(t_i) = t_i$ ,  $f_{2,k}(t_i) = t_i^2$ ,  $f_k^T(t_i) = (f_{0,k}(t_i), f_{1,k}(t_i), f_{2,k}(t_i)) = (1, t_i, t_i^2)$  выступают в качестве базисных функций и задаются в дискретных точках  $t_i$  с номерами  $N_{1k} \leq i \leq N_{2k}, k = 1, \dots, n$ . Вводятся векторы  $\alpha_k^T = (\alpha_{0,k}, \alpha_{1,k}, \alpha_{2,k})$  размерности  $(3, 1)$ . Модельная базисная функция в виде дискретного

полинома второй степени для  $k$ -го сплайнового интервала представится скалярным произведением

$$f_k(\alpha_k, t_i) = f_k^T(t_i)\alpha_k = \alpha_{0,k} + \alpha_{1,k}t_i + \alpha_{2,k}(t_i)^2, \quad N_{1k} \leq i \leq N_{2k}; \quad (18)$$

$$f_k(\alpha_k, t_i) = 0, \quad i < N_{1k}, \quad i > N_{2k}.$$

На основе наблюдений  $y(t_0), y(t_1), \dots, y(t_{N_f-1})$ , моментов времени дискретизации  $t_0, t_1, \dots, t_{N_f-1}$ , модельных базисных функций (18) и последовательности граничных точек  $N_{11}, N_{21}, \dots, N_{1n}, N_{2n}$  в соответствии с (10) формируются матрицы  $Q_k$  и векторы  $P_k$ ,  $k = 1, \dots, n$ . Матрицы  $Q_k$  в данном случае имеют размерность  $((L+1), (L+1)) = (3, 3)$  и их элементы  $q_{rs,k}$ ,  $r, s = 1, 2, 3$ , можно вычислить по следующим соотношениям:

$$q_{11,k} = N_{2k} - N_{1k} + 1; \quad q_{12,k} = \sum_{i=N_{1k}}^{N_{2k}} t_i; \quad q_{13,k} = \sum_{i=N_{1k}}^{N_{2k}} (t_i)^2;$$

$$q_{23,k} = \sum_{i=N_{1k}}^{N_{2k}} (t_i)^3; \quad q_{33,k} = \sum_{i=N_{1k}}^{N_{2k}} (t_i)^4; \quad (19)$$

$$q_{21,k} = q_{12,k}; \quad q_{22,k} = q_{13,k}; \quad q_{31,k} = q_{13,k}; \quad q_{32,k} = q_{23,k}.$$

Векторы  $P_k$  имеют размерность  $((L+1), 1) = (3, 1)$ , и вычисление их элементов  $p_{r,k}$ ,  $r = 1, 2, 3$ , может быть произведено по формулам

$$p_{1,k} = \sum_{i=N_{1k}}^{N_{2k}} y(t_i); \quad p_{2,k} = \sum_{i=N_{1k}}^{N_{2k}} (t_i)y(t_i); \quad p_{31,k} = \sum_{i=N_{1k}}^{N_{2k}} (t_i^2)y(t_i). \quad (20)$$

Из матриц  $Q_k$ , векторов  $P_k$ ,  $k = 1, \dots, n$ , и формул (19), (20) с использованием (11) формируются блочные матрица  $Q$  и вектор  $P$ .

Для дискретных полиномов второй степени матрицы  $C_0, C_1$  в соответствии с исходными формулами (12), (13) будут иметь вид

$$C_0 = \begin{pmatrix} 1, \tau_1, \tau_1^2, & -1, -\tau_1, -\tau_1^2, & 0, & \dots & 0 \\ 0, & 1, \tau_2, \tau_2^2, & -1, -\tau_2, -\tau_2^2, & 0, & 0 \\ \dots & \dots & \dots & \dots & \dots \\ & & 1, \tau_{n-2}, \tau_{n-2}^2, & -1, -\tau_{n-2}, -\tau_{n-2}^2, & 0 \\ 0, & \dots & 0, & 1, \tau_{n-1}, \tau_{n-1}^2, & -1, -\tau_{n-1}, -\tau_{n-1}^2 \end{pmatrix}, \quad (21)$$

$$C_1 = \begin{pmatrix} 0, 1, 2\tau_1, & 0, -1, -2\tau_1, & 0, & \dots & 0 \\ 0, & 0, 1, 2\tau_2, & 0, -1, -2\tau_2, & 0, & 0 \\ \dots & \dots & \dots & \dots & \dots \\ & & 0, 1, 2\tau_{n-2}, & 0, -1, -2\tau_{n-2}, & 0 \\ 0, & \dots & 0, & 0, 1, 2\tau_{n-1}, & 0, -1, -2\tau_{n-1} \end{pmatrix}. \quad (22)$$



Для дискретных полиномов второй степени матрица  $C_2$  на основе (14) и с учётом того, что принято значение  $t_0 = 0$ , будет иметь вид

$$C_2 = \begin{pmatrix} 1, 0, 0, 0, \dots & 0 \\ 0, 1, 0, 0, \dots & 0 \\ 0, \dots, 0, 1, t_{N_f-1}, t_{N_f-1}^2 \\ 0, \dots, 0, 0, 1, 2t_{N_f-1} \end{pmatrix}. \quad (23)$$

Соответствующая (17) блочная матрица  $D$ , включающая матрицы  $Q$ ,  $C_0$ ,  $C_1$ ,  $C_2$  ((19), (21)–(23)), и блочный вектор  $b$ , включающий векторы  $P$ ,  $g$  (20), имеют размерности  $((3n + 2(n - 1) + 4)$ ,  $(3n + 2(n - 1) + 4)$ ),  $((3n + 2(n - 1) + 4)$ ,  $1$ ) и заполняются матрицами и векторами из (19)–(23). Нахождение оптимального вектора  $z^\circ$  осуществляется из линейной системы  $Dz = b$ . Коэффициенты вектора  $\alpha^\circ$  совпадают с первыми  $3n$  коэффициентами вектора  $z^\circ$ ; на их основе можно записать выражение для аппроксимационной сплайновой функции и отфильтрованной последовательности

$$x(t_i) = f(\alpha^\circ, t_i) = \sum_{k=1}^n f_k^T(t_i) \alpha_k^\circ = \sum_{k=1}^n (\alpha_{0,k}^\circ + \alpha_{1,k}^\circ(t_i) + \alpha_{2,k}^\circ(t_i)^2). \quad (24)$$

**4. Цифровая фильтрация данных аэродинамического эксперимента.** Предложенный метод цифровой фильтрации, основанный на использовании аппроксимационных сплайновых функций, был апробирован на примере обработки данных аэродинамического эксперимента [11]. Рассмотрим описание эксперимента с учётом ряда введённых упрощений.

В аэродинамической трубе устанавливалась заданная постоянная скорость воздушного потока. Для эксперимента в непрерывном режиме угол атаки  $\alpha_M$  модельной конструкции летательного аппарата (ЛА) изменялся со скоростью  $\dot{\alpha}_M$  от минимального  $\alpha_{M, \min}$  до максимального  $\alpha_{M, \max}$  значения с помощью механизма управления углом атаки. Многоканальная система сбора производила запись дискретизованных сигналов от электромеханического датчика угла атаки  $\alpha_M(i) = \alpha_M(Ti)$  модели ЛА и от сигналов тензодатчиков силовых  $X(Ti)$ ,  $Y(Ti)$ ,  $Z(Ti)$  и моментных  $M_x(Ti)$ ,  $M_y(Ti)$ ,  $M_z(Ti)$  нагрузок, действующих на модель ЛА (здесь  $T$  — шаг дискретизации,  $i = 0, 1, 2, \dots$ ).

Записанные дискретизованные сигналы подавались в систему алгоритмов первичной обработки первой группы, в которых формировался массив значений углов атаки  $\alpha_M(i) = \alpha_M(Ti)$ ,  $i = 0, 1, \dots, N_f - 1$ , и вычислялись массивы аэродинамических коэффициентов  $c_{xa}(Ti)$ ,  $c_{ya}(Ti)$ ,  $c_{za}(Ti)$  и  $m_{xa}(Ti)$ ,  $m_{ya}(Ti)$ ,  $m_{za}(Ti)$ .

В системе алгоритмов первичной обработки второй группы на основе массивов углов атаки и аэродинамических коэффициентов вычислялись аэродинамические характеристики модели ЛА в виде зависимостей аэродинамических коэффициентов от дискретных значений угла атаки при заданной скорости потока в трубе:

$$c_{xa}(i) = F_1(\alpha_M(i)), \quad c_{ya}(i) = F_2(\alpha_M(i)), \quad c_{za}(i) = F_3(\alpha_M(i)),$$

$$m_{xa}(i) = F_4(\alpha_M(i)), \quad m_{ya}(i) = F_5(\alpha_M(i)), \quad m_{za}(i) = F_6(\alpha_M(i)).$$

Одновременно находились зависимости связей аэродинамических коэффициентов, например  $c_{ya}(i) = P(c_{xa}(i))$  или  $m_{za}(i) = P_1(c_{ya}(i))$  и т. д.

Информация от системы первичных алгоритмов подавалась в систему вторичных алгоритмов, работа которых обеспечивала повышение точности вычисленных аэродинамических характеристик.

Здесь представлены результаты работы одного из вторичных алгоритмов, реализующего цифровую фильтрацию зависимости коэффициентов подъёмной силы  $c_{ya}(i)$  от коэффициентов сопротивления  $c_{xa}(i)$ , — экспериментальной поляры  $c_{ya}(i) = P(c_{xa}(i))$ ,  $i = 0, 1, \dots, N_f - 1$ . Сплошная кривая на рис. 1 представляет собой экспериментальную поляру для  $\dot{\alpha}_M \approx 0,5$  град/с,  $\alpha_{M, \min} = -1,59$  град,  $\alpha_{M, \max} = 5,64$  град,  $T = 0,05$  с,  $N_f = 133$ . Очевидно, что данная поляра дискретизована неравномерно и содержит ограниченное число точек наблюдений. Из анализа рис. 1 можно заключить, что в экспериментальной поляре присутствуют шумовые погрешности, причём дисперсию шумов погрешностей можно интерпретировать как нестационарную: на концах интервала  $-0,17 \leq c_{ya} \leq 0,58$  дисперсия погрешностей больше, чем в средней его части.

Вторичный алгоритм обработки информации в данном случае должен осуществить фильтрацию нестационарных шумовых погрешностей и обеспечить малые фазовые искажения. Для реализации указанных требований были применены предложенные аппроксимационные сплайновые функции, использующие дискретные полиномы второй степени с подбором сплайновых узлов и с регулированием положений и производных функций на концах посредством задания коэффициентов вектора  $g$ .

Рассмотрена обратная поляра  $c_{xa}(i) = P_0(c_{ya}(i))$  и сделаны переобозначения используемых привычных переменных  $t_i = c_{ya}(i)$ ,  $y(t_i) = c_{xa}(i)$ . Экспертным путём на основе анализа графика рис. 1 для интервала  $-0,17 \leq c_{ya} \leq 0,58$  произведено назначение сплайновых узлов  $c_{ya1}, c_{ya2}, c_{ya3} = (-0,1, 0,3, 0,49)$  и коэффициентов вектора  $g^T = (g_1, g_2, g_3, g_4) = (0,0165, -0,025, 0,043, 0,13)$ , которые определили положение и производные на концах интервала для аппроксимационной сплайновой функции.

Экспериментальные данные  $c_{ya}(i), c_{xa}(i)$ , назначенные сплайновые узлы, вектор  $g$  позволили сформировать матрицу  $Q$  с помощью формул (10), (19), (11), вектор  $P$  с использованием (10), (20), (11) и матрицы  $C_0, C_1, C_2$  с применением формул (21)–(23).

После создания матриц  $Q$  и  $C_0, C_1, C_2$  оказалось возможным составление блочной квадратной матрицы  $D$  по формулам (17); формирование векторов  $P$  и  $g$  позволило составить блочный вектор  $b$  на основе (17). Решив систему линейных уравнений  $Dz = b$ , из вектора  $z$  размерности  $(3n + 2(n - 1) + 4, 1)$  получим вектор параметров модели  $\tilde{\alpha}^T = (\tilde{\alpha}_1^T, \tilde{\alpha}_2^T, \dots, \tilde{\alpha}_n^T)$  размерности  $(3n, 1)$  и аппроксимационную сплайновую функцию

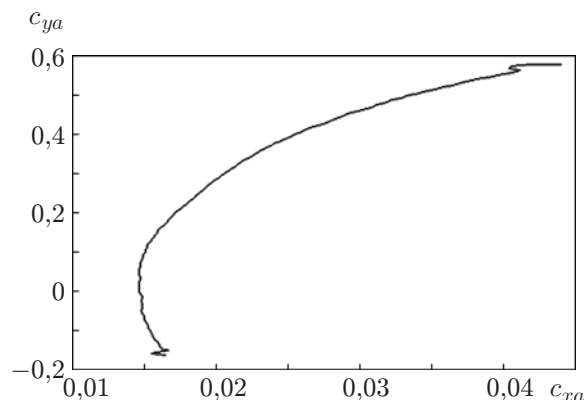


Рис. 1. Экспериментальная поляра

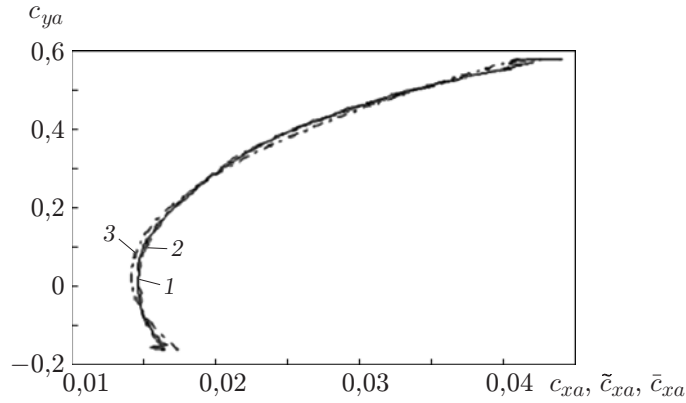


Рис. 2. Цифровая фильтрация для экспериментальной поляры

$\tilde{c}_{xa}(i)$  по (24):

$$\tilde{c}_{xa}(i) = \sum_{k=1}^n f_k^T(t_i) \tilde{\alpha}_k^{\circ}; \quad \tilde{c}_{xa}(i) = \tilde{P}_0(c_{ya}(i)), \quad i = 0, 1, \dots, N_f - 1. \quad (25)$$

Результаты цифровой фильтрации отражены на рис. 2. Кривая 1 обозначает экспериментальную обратную поляру  $c_{ya}(i) = P_0(c_{xa}(i))$ , повторяющую рис. 1. Кривая 2 представляет собой результат сплайновой фильтрации (25), эта кривая почти точно совпадает с исходной полярой. Видно, что в результирующей аппроксимационной сплайновой функции устранены нестационарные шумовые погрешности на концах интервала и достигнуто практически нулевое фазовое искажение.

Рассмотрим цифровую фильтрацию экспериментальной обратной поляры с использованием её аппроксимации параболической моделью вида

$$\bar{c}_{xa}(i) = \bar{\alpha}_0 + \bar{\alpha}_1 c_{ya}(i) + \bar{\alpha}_2 (c_{ya}(i))^2 \quad (26)$$

по методу наименьших квадратов для  $i = 0, 1, \dots, N_f - 1$ . Сравним погрешности аппроксимации с помощью параболических и сплайновых моделей. Опустим необходимые выкладки из [12] и приведём формулы для решения. Вектор параметров аппроксимационной параболической модели  $\bar{\alpha}^T = (\bar{\alpha}_0, \bar{\alpha}_1, \bar{\alpha}_2)$  находится из линейной системы  $\bar{Q}\bar{\alpha} = \bar{P}$ . При этом элементы матрицы  $\bar{Q}$  размерности  $(3, 3)$  и вектора  $\bar{P}$  размерности  $(3, 1)$  вычисляются следующим образом:

$$\bar{q}_{11} = N_f, \quad \bar{q}_{12} = \sum_{i=0}^{N_f-1} c_{ya}(i), \quad \bar{q}_{13} = \sum_{i=0}^{N_f-1} (c_{ya}(i))^2,$$

$$\bar{q}_{23} = \sum_{i=0}^{N_f-1} (c_{ya}(i))^3, \quad \bar{q}_{33} = \sum_{i=0}^{N_f-1} (c_{ya}(i))^4,$$

$$\bar{q}_{21} = \bar{q}_{12}, \quad \bar{q}_{22} = \bar{q}_{13}, \quad \bar{q}_{31} = \bar{q}_{13}, \quad \bar{q}_{32} = \bar{q}_{23},$$

$$\bar{p}_1 = \sum_{i=0}^{N_f-1} c_{xa}(i), \quad \bar{p}_2 = \sum_{i=0}^{N_f-1} (c_{ya}(i))c_{xa}(i), \quad \bar{p}_3 = \sum_{i=0}^{N_f-1} (c_{ya}(i))^2 c_{xa}(i).$$

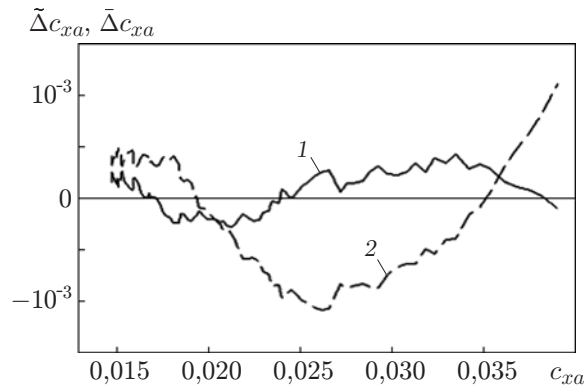


Рис. 3. Функции погрешностей цифровой фильтрации

На рис. 2 кривая 3 описывает график, соответствующий параболической модели (26).

Точность предлагаемой цифровой фильтрации была оценена с помощью сравнения вычисленных функций погрешностей, представимых формулами

$$\tilde{\Delta}c_{xa}(i) = c_{xa}(i) - \tilde{c}_{xa}(i); \quad \bar{\Delta}c_{xa}(i) = c_{xa}(i) - \bar{c}_{xa}(i), \quad (27)$$

и вычисленных значений среднеквадратичных погрешностей цифровой фильтрации по формулам

$$\tilde{\sigma} = \sqrt{\frac{1}{N_2 - N_1} \sum_{i=N_1}^{N_2} (c_{xa}(i) - \tilde{c}_{xa}(i))^2}; \quad (28)$$

$$\bar{\sigma} = \sqrt{\frac{1}{N_2 - N_1} \sum_{i=N_1}^{N_2} (c_{xa}(i) - \bar{c}_{xa}(i))^2},$$

где введённые границы суммирования удовлетворяют неравенствам  $0 \leq N_1 < N_2 \leq N_f - 1$ . На рис. 3 показаны результаты вычисления погрешностей. Кривая 1 является функцией  $\tilde{\Delta}c_{xa}(i) = \tilde{G}(c_{xa}(i))$ , кривая 2 относится к функции  $\bar{\Delta}c_{xa}(i) = \bar{G}(c_{xa}(i))$ ,  $N_1 \leq i \leq N_2$ , для выбранных границ  $N_1 = 20$ ,  $N_2 = 113$ . Приведём оценки среднеквадратичных погрешностей, вычисленных в соответствии с графиками рис. 3:  $\tilde{\sigma} = 1,78 \cdot 10^{-4}$ ,  $\bar{\sigma} = 6,73 \cdot 10^{-4}$ , позволяющие судить о величине погрешностей предлагаемой цифровой фильтрации на основе аппроксимационных сплайновых функций, которые оказываются примерно в 4 раза меньше погрешностей, возникающих при аппроксимации параболической моделью.

**Заключение.** Созданный в данной работе метод цифровой фильтрации последовательностей экспериментальных данных, основанный на аппроксимационных сплайновых функциях, подтвердил свою эффективность. Применение предлагаемых аппроксимационных сплайновых функций позволило осуществить цифровую фильтрацию данных с неравномерной дискретизацией и на ограниченном временном интервале. Благодаря возможности регулирования положений и наклонов аппроксимационных сплайновых функций на концах интервалов наблюдений оказалась возможной фильтрация шумовых погрешностей с нестационарной интенсивностью. Цифровая фильтрация на основе аппроксимационных сплайнов обеспечила почти нулевые фазовые искажения.

Метод цифровой фильтрации последовательностей экспериментальных данных, использующий аппроксимационные сплайновые функции, допускает дальнейшее его совершенствование.

### СПИСОК ЛИТЕРАТУРЫ

1. **Стечкин С. Б., Субботин Ю. Н.** Сплайны в вычислительной математике. М.: Наука, 1976. 248 с.
2. **Де Бор К.** Практическое руководство по сплайнам: Пер. с англ. М.: Радио и связь, 1985. 305 с.
3. **Pang D., Ferrari L. A., Sancar P. V.** B-spline FIR filters // Circuits, Systems, Signal Process. 1994. **13**, N 1. P. 31–64.
4. **Unser M., Aldroubi A., Eden M.** Polynomial spline signal approximation: Filter design and asymptotic equivalence with Shannon's sampling theorem // IEEE Trans. Inform. Theory. 1992. **38**, N 1. P. 95–103.
5. **Unser M., Aldroubi A., Eden M.** B-spline signal processing. I. Theory // IEEE Trans. Signal Process. 1993. **41**, N 2. P. 821–833.
6. **Ланге П. К.** Сплайн-аппроксимация дискретных значений сигналов с применением методов цифровой фильтрации // Вестн. Сам. гос. техн. ун-та. Сер. Физ.-мат. науки. 2003. **19**. С. 134–138.
7. **Идрисов Ф. Ф., Терпугов А. Ф.** Фильтрация случайных процессов сплайнами первого порядка // Изв. вузов. Сер. Физика. 2004. № 2. С. 22–25.
8. **Хуторцев В. В., Федоренко О. С.** Использование метода сплайн-функций при синтезе цифровых алгоритмов фильтрации с группированием наблюдений // Радиотехника. 2010. № 2. С. 4–15.
9. **Гетманов В. Г.** Восстановление нестационарных зависимостей с использованием аппроксимационных сплайнов // Изв. АН СССР. Сер. Техническая кибернетика. 1991. № 6. С. 46–53.
10. **Гетманов В. Г.** Цифровая обработка неравномерно дискретизованных сигналов на основе аппроксимационных сплайнов // Измер. техника. 2003. № 6. С. 24–28.
11. **Буров В. В., Волобуев В. С., Глазков С. А. и др.** Измерительно-вычислительный комплекс трансзвуковой аэродинамической трубы Т-128 ЦАГИ // Датчики и системы. 2010. № 5. С. 20–24.
12. **Себер Дж.** Линейный регрессионный анализ. М.: Мир, 1980. 456 с.

*Поступила в редакцию 2 ноября 2010 г.*